



D I G I N E X T

Advanced Computer-Based Systems

# *Les applications industrielles du filtrage particulaire : La trajectographie passive par mesure d'azimut*

F. LAMOLE, G. RIGAL, C. TAUDOU

Contact : Gilles RIGAL  
(33) 442 908 284  
gilles.rigal@diginext.fr

A. BONNOT DGA/DCCE/CTSN

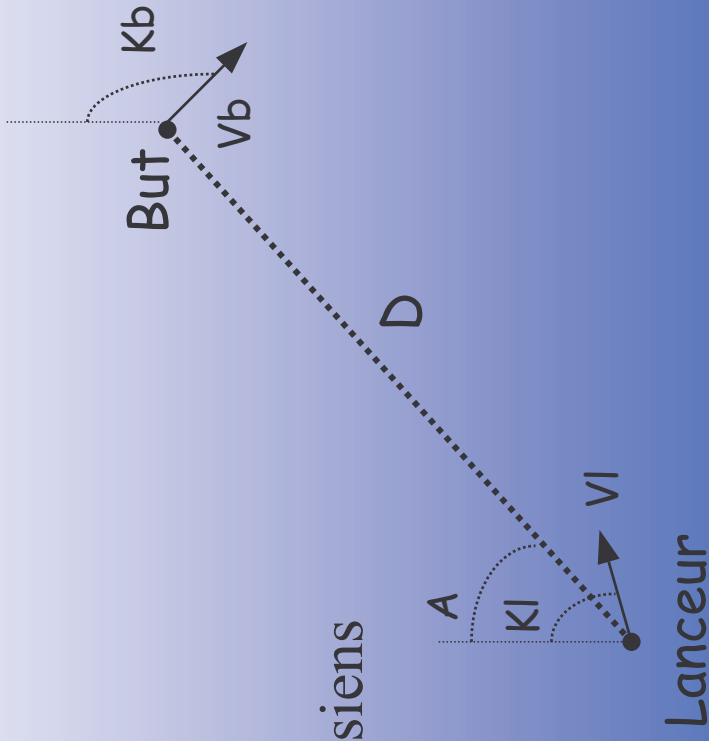
*Lotras*

# Position du problème & objectifs

## Evaluer sur signaux réels l'apport des techniques particulières en écoute passive SONAR (azimétrie)

$$\begin{cases} \dot{A} = \frac{1}{D} (V_b \sin(K_b - A) - V_l \sin(K_l - A)) \\ \dot{D} = V_b \sin(K_b - A) - V_l \sin(K_l - A) \end{cases}$$

avec  $(K_m, V_m)$  processus aléatoires non gaussiens



$$y_A = A + \eta_A$$
$$y_\omega = \omega_0 \left(1 - \frac{\dot{D}}{c}\right) + \eta_\omega$$

Estimer la distance, le cap et la vitesse d'un but à partir des mesures d'azimut  $A$  et de défilement Doppler  $\omega$  de la piste

# Principale difficulté : observabilité de la solution

## Trajectographie par mesure d'azimut (TPA)

- sur le plan théorique : pas d'observabilité si le porteur et le but sont en mouvement rectiligne uniforme
- sur le plan pratique : le porteur doit manœuvrer, mais perte de la mesure d'azimut pendant la manœuvre

## Trajectographie par mesure d'azimut et de fréquence (TPAF)

- sur le plan théorique : observabilité si défilement doppler
- sur le plan pratique : disponibilité et qualité insuffisantes des mesures de fréquence

**Conclusions :** TPA ou TPAF ?

# Objectifs de l'étude de faisabilité sur signaux réels

## Gains de productivité

- Automatisation complète de la procédure de trajectographie
- Robustesse aux manoeuvres du but

## Gains de performance :

- Réduction des temps d'accrochage (fonctions de l'observabilité)
- Fiabilité des indicateurs de confiance
- Précision des éléments buts
- Disponibilité des informations «cinématique but»

## Contraintes

- Evaluation de la puissance CPU nécessaire

# Structure d'estimateur



**Solution proposée :** (cf. thèse de V. TEULIERE – LAAS du CNRS)

## Estimateur :

- Réseau de filtres linéarisés pilotés par une logique particulière

## Modèle d'état :

- Représentation d'état en polaire modifiée
- Modélisation robuste des manœuvres éventuelles du but

## Initialisation :

- Initialisation lacunaire de l'état fonction de l'observabilité

⇒ **Acquisition / poursuite avec nombre réduit de particules**  
**5000 particules pour 50 km**

# Principes algorithmiques

## Evolution des particules

$$X_t^i = F_t(X_{t-1}^i, \pi_t^i) \quad \text{pour } i \in \{1, \dots, N\}$$

## Kalman conditionnel

### Modèle du filtre

$$\begin{cases} X_t = F_t(X_{t-1}, \pi_t) \\ \sigma_t = \phi \sigma_{t-1} + W_t \\ Y_t = H(X_t) \sigma_t + V_t \end{cases}$$

$$\begin{cases} \hat{\sigma}_{t/t-1}^i = \phi \hat{\sigma}_{t-1/t-1}^i \\ \tilde{P}_{t/t-1}^i = \phi \tilde{P}_{t-1/t-1}^i \phi^T + Q_t \\ K_t^i = \tilde{P}_{t/t-1}^i H(X_t^i)^T (H(X_t^i) \tilde{P}_{t/t-1}^i H(X_t^i)^T + R_t)^{-1} \\ \hat{\sigma}_{t/t}^i = \hat{\sigma}_{t/t-1}^i + K_t^i (Y_t - H(X_t^i)) \hat{\sigma}_{t/t-1}^i \\ \tilde{P}_{t/t}^i = \tilde{P}_{t/t-1}^i - K_t^i H(X_t^i) \tilde{P}_{t/t-1}^i \end{cases}$$

## Pondération / processus innovation

$$p_t^i = \frac{P(\tilde{Y}_t^i / X_t^i)}{\sum_{j=1}^N P(\tilde{Y}_t^j / X_t^j)}$$

$$\tilde{Y}_t^i = H(X_t^i) \tilde{\sigma}_{t/t-1}^i + V_t$$

# Modélisation d'état

Représentation d'état en polaire modifiée :

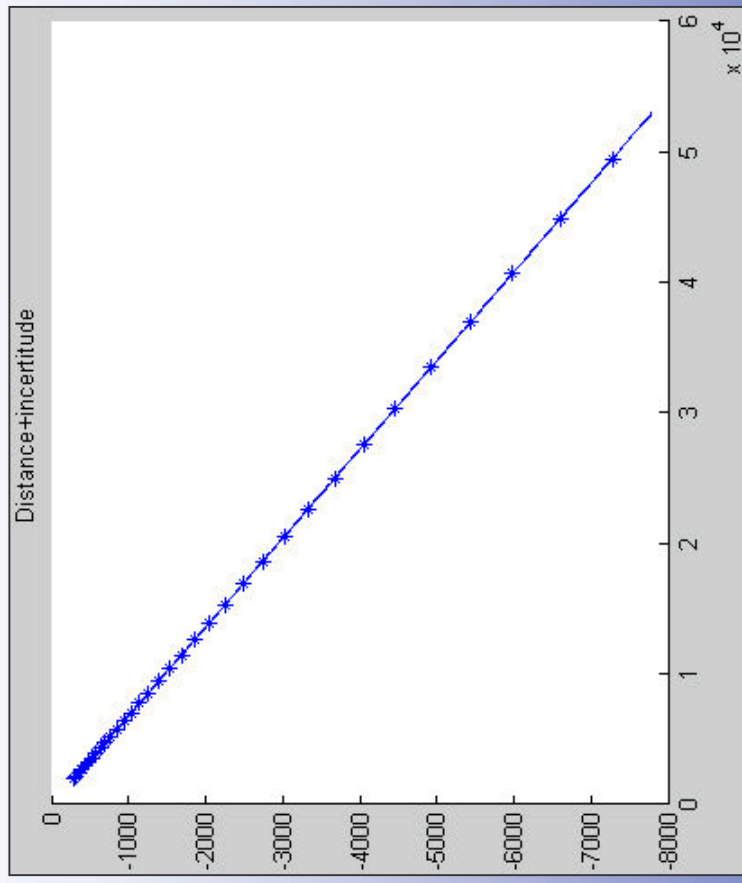
$$\begin{pmatrix} A \\ \dot{A} \\ 1/D \\ \dot{D}/D \\ \omega_0 \end{pmatrix}$$

Vecteur d'état

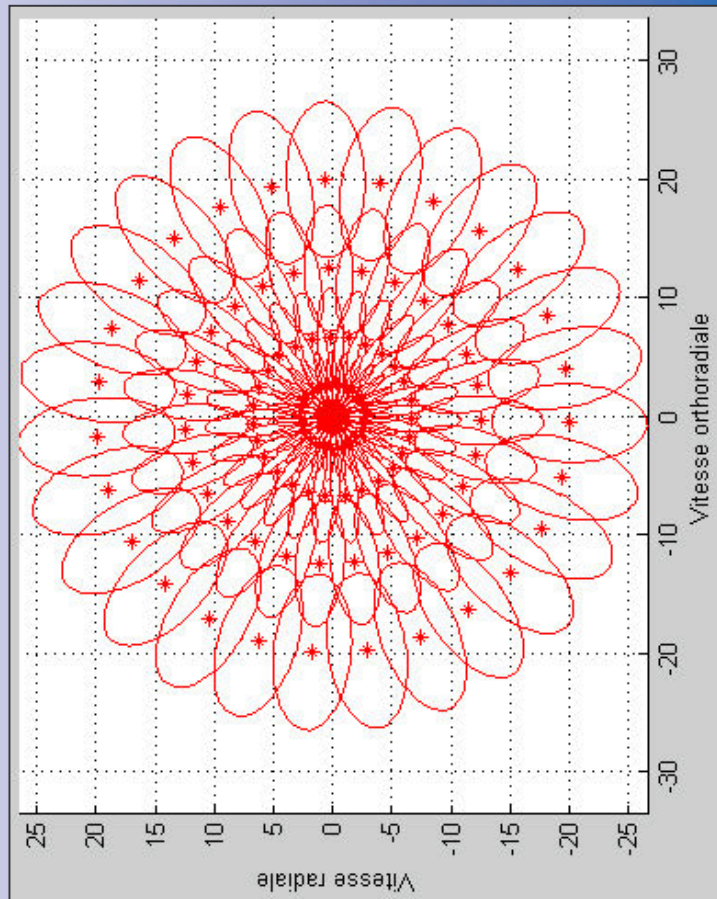
Evolution particules & prédiction linéaire : modèle cartésien

Correction linéaire & pondération des filtres : modèle polaire modifié

# Principe de l'initialisation lacunaire



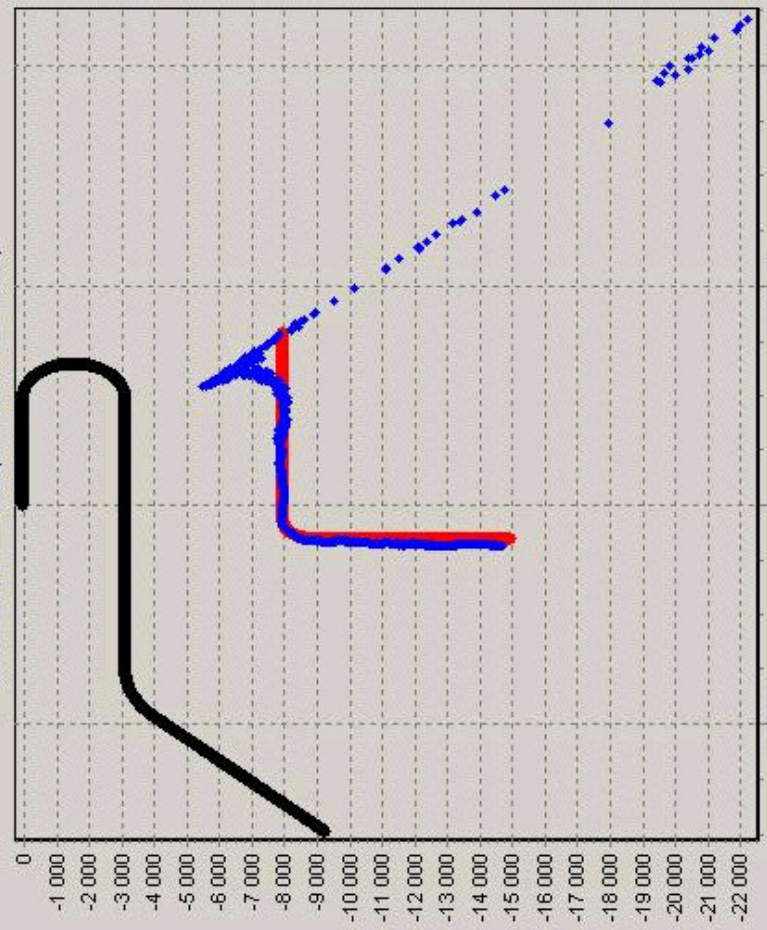
Initialisation en distance



Initialisation en vitesse

# LoTras

SITUATION TACTIQUE (Coordonnées en mètres)

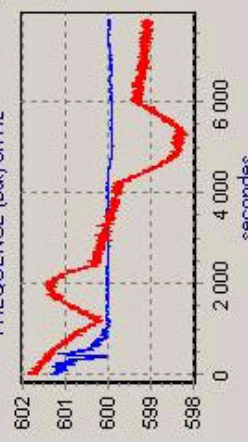


Estimée  
Mesurée

But réel  
Porteur réel  
But estimé (1)  
But estimé (2)

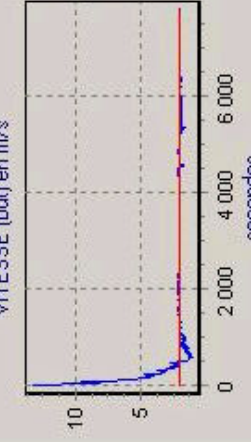
(1) : avec mesure  
(2) : sans mesure

FREQUENCE (but) en Hz



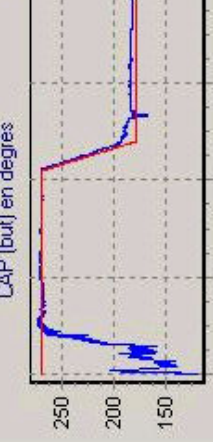
Estimée  
Réelle

VITESSE (but) en m/s



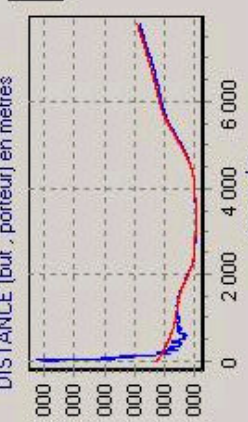
Estimée  
Réelle

CAP (but) en degrés



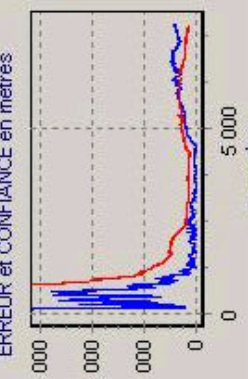
Estimée  
Mesurée

AZIMUT RELATIF (but , porteur) en degrés



Estimée  
Réelle

ERREUR et CONFIANCE en mètres

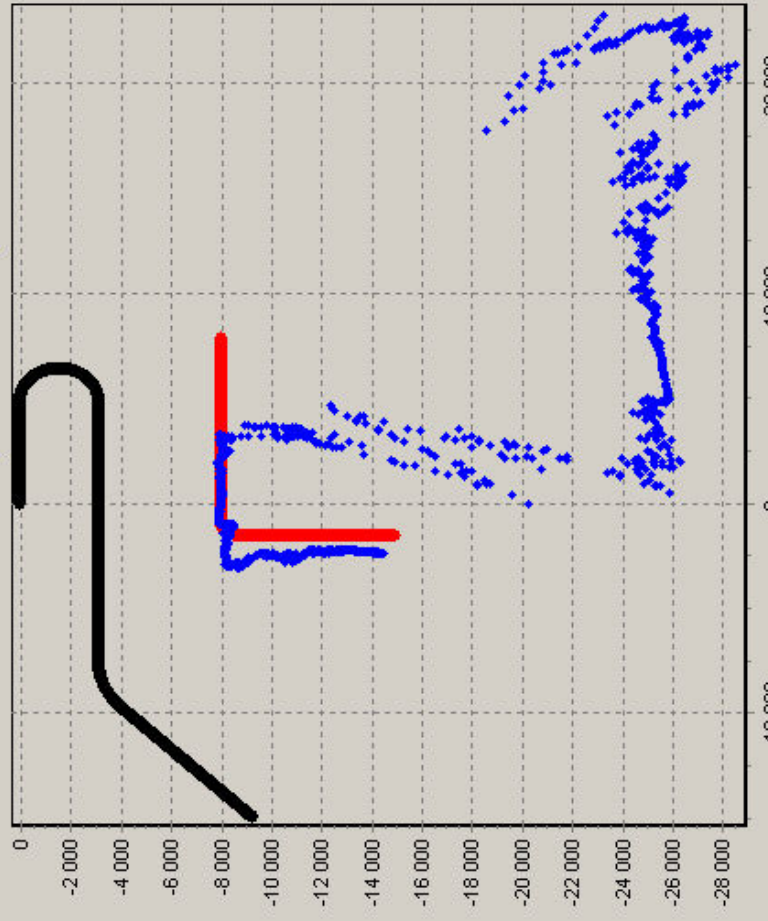


$$\Delta t_{\text{cvg}} = 11 \text{ min}$$

$$\varepsilon_{\text{dist}} \sim 250 \text{ m}$$

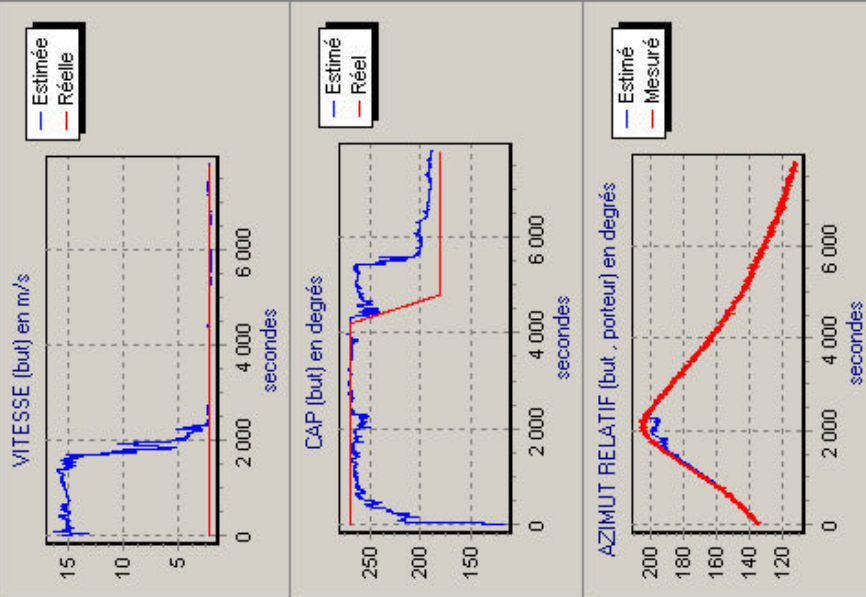
# LoTras

SITUATION TACTIQUE (Coordonnées en mètres)



But réel  
Porteur réel  
But estimé (1)  
But estimé (2)

(1) : avec mesure  
(2) : sans mesure



**TPA - Scénario 1**

$\Delta t_{cvg} = 1 \text{ min}$  après giration porteur  
 $\Delta t_{cvg} = 10 \text{ min}$  après giration but

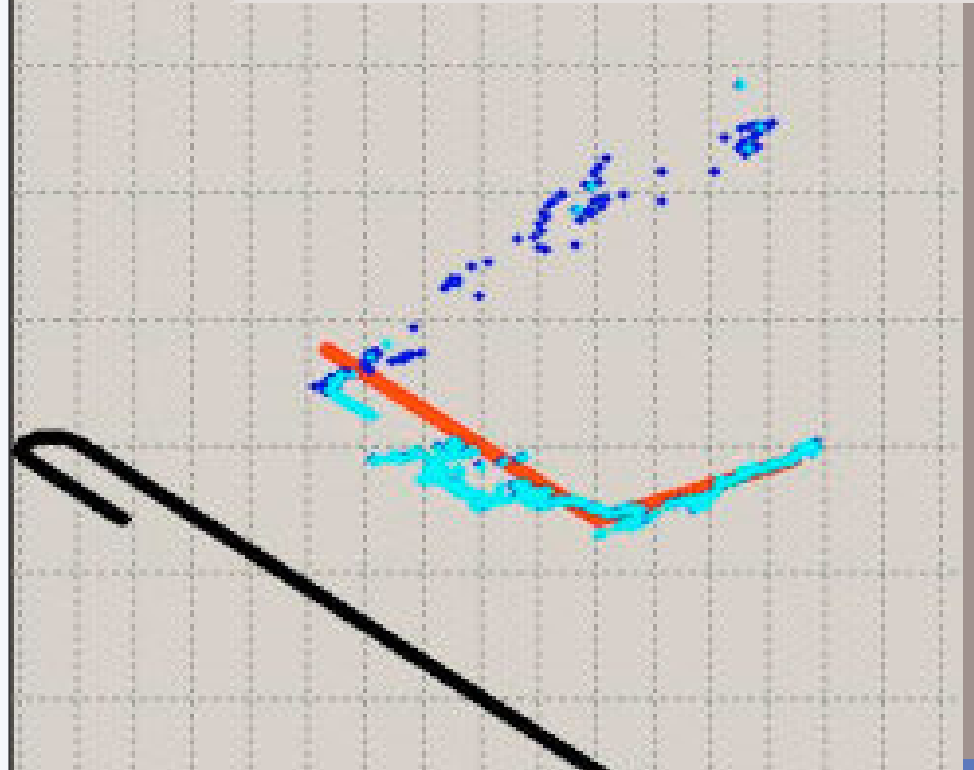
$\varepsilon_{dist} < 1000\text{m}$

# LoTras

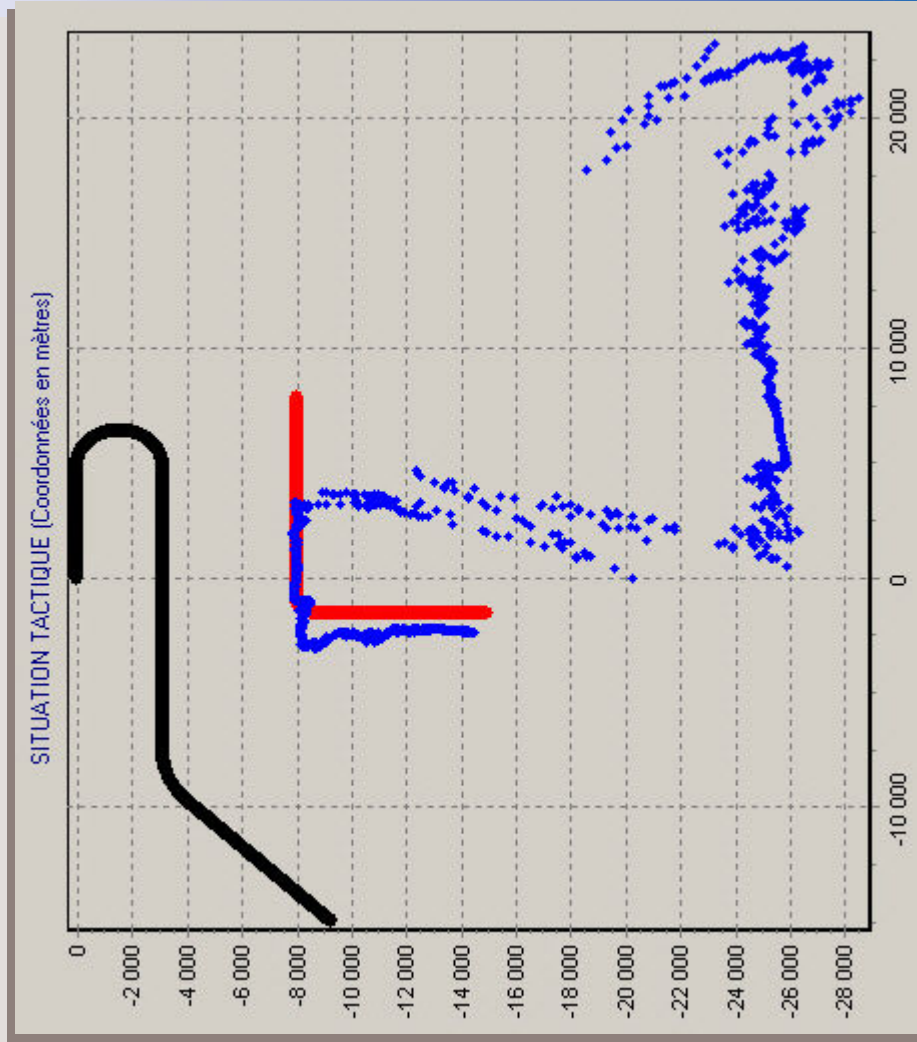


# Signaux réels

TPA - Scénario 1



$\Delta t_{cvg} = 10 \text{ min}$



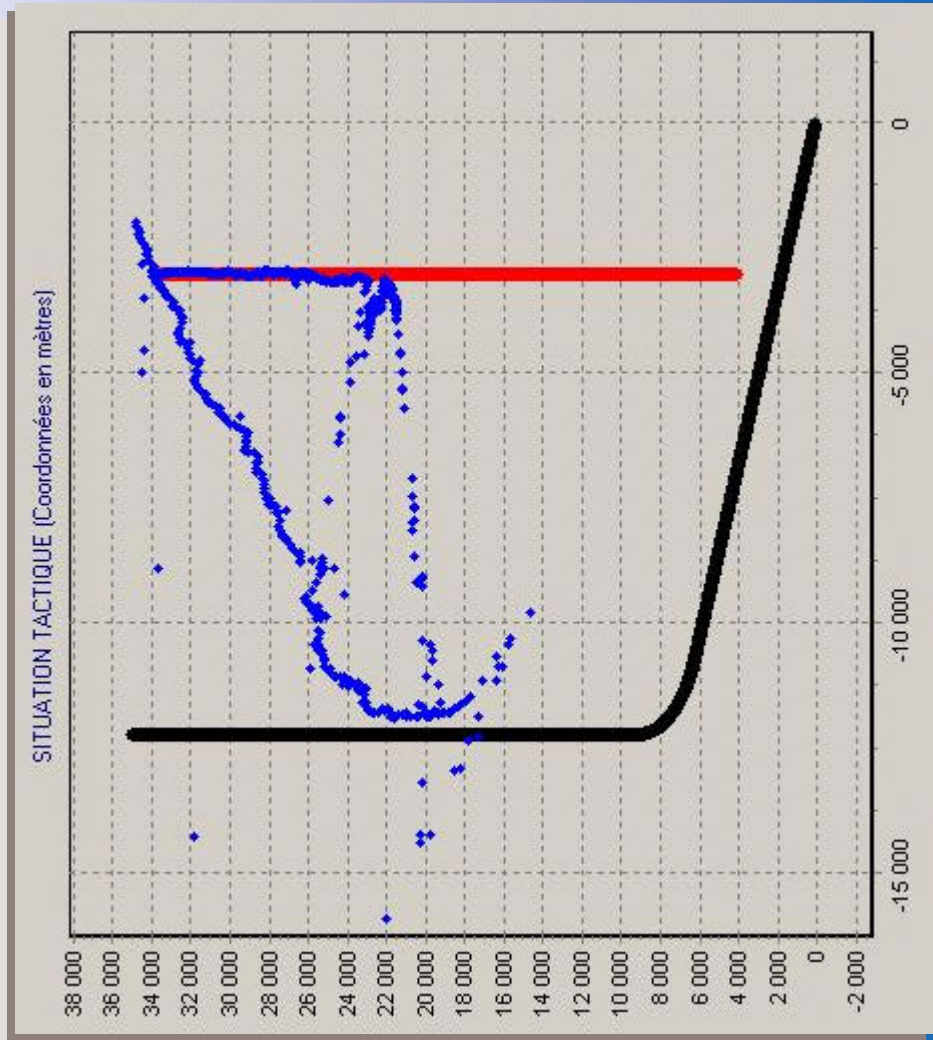
# LoTras

## Signaux réels



$\Delta t_{cvg} = 10 \text{ min}$

TPA - Scénario 3



# Conclusions

## *Les découvertes :*

- ✓ Pas d'apport significatif de la mesure de fréquence sur signaux réels
- ✓ Filtre particulaire exploite les faibles observabilités en TPA

## *Les confirmations :*

- ✓ Automatisation de la poursuite
- ✓ Robustesse
  - Vs Qualité des mesures (trous, asynchronisme)
  - Vs Manoeuvres du but
- ✓ Intégrité
  - Indicateur de performance fiable
- ✓ Performances
  - Temps de convergence (quelques minutes)
  - Précision des éléments buts & cinématiques estimés

# Conclusions

*Faisabilité acquise sur signaux réels  
avec un nombre réduit de particules*